

## حالت های همدوس تعمیم یافته و فوتون افزوده باروت- جیراردلو برای نوسانگر هماهنگ غیرخطی

سودابه رضایی<sup>\*</sup>؛ اردشیر رابعی<sup>۱</sup>

<sup>۱</sup>دانشگاه رازی، گروه فیزیک، کرمانشاه

چکیده	اطلاعات مقاله
<p>هدف ما در این مقاله، مطالعه نوسانگر غیرخطی به عنوان نمونه‌ای از یک سیستم با جرم مؤثر وابسته به موقعیت از نقطه نظر حالت‌های همدوس تعمیم یافته و حالت‌های همدوس فوتون افزوده با فرمولبندی باروت- جیراردلو می‌باشد. تحلیل رابطه همانی، به عنوان مهمترین ویژگی حالت‌های همدوس، بر اساس تابع میجر انجام می‌شود. همچنین ویژگی‌های غیرکلاسیکی این دو بردار حالت سیستم را با استفاده از تابع توزیع احتمال و پارامتر مندل بررسی می‌نماییم.</p> <p><b>واژگان کلیدی:</b> حالت‌های همدوس باروت- جیراردلو، حالت‌های همدوس فوتون افزوده، ویژگی‌های غیرکلاسیکی، تابع توزیع احتمال، پارامتر مندل</p>	<p>تاریخ دریافت: ۱۴۰۰/۹/۱۷          تاریخ پذیرش: ۱۴۰۳/۱۱/۱۳          تاریخ چاپ: ۱۴۰۳/۱۱/۲۷</p>
	<p>شایای چاپی: 2588-493x          شایای الکترونیکی: 2588-4921</p>
	<p>* نویسنده مسئول          sodaber9@gmail.com</p>



توسط شرودینگر را حالت همدوس نامید و نشان داد که آنها برای توصیف یک نور لیزر همدوس کافی می‌باشند.

سه روش نظریه گروهی متفاوت برای تعیین حالت‌های همدوس وجود دارد که از سه تعریف مشهور گلوبر برای حالت‌های همدوس [3] مربوط به نوسانگر هماهنگ ساده پیروی می‌کنند. پریلیموو و گیلمور و راسه تی فرمولبندی حالت‌های همدوس را به صورتی که آنها از عمل نمایش گروه روی یک حالت پایه به دست می‌آیند و توسط نقاطی در فضای همگن پارامتریزه می‌شوند، ارائه داده اند [4]. این روش تعیین حالت‌های همدوس برای هر گروه لی قابل استفاده می‌باشد.

### مقدمه

مفهوم حالت‌های همدوس به صورت موفقیت آمیزی در دهه‌های اخیر در زمینه‌های مختلف فیزیک نظری و آزمایشگاهی، به ویژه اپتیک کواتنومی، به کار رفته است. این حالت‌ها ابتدا در رابطه با نوسانگر هماهنگ ساده کواتنومی، با جبر ویل - هایزنبرگ، توسط شرودینگر معرفی شدند طوری که از نظر دینامیکی رفتاری نزدیک به دینامیک کلاسیک را دارا بوده و رابطه عدم قطعیت مینیمم را برآورده می‌نمودند [1]. در دهه شصت گلوبر حالت‌های معرفی شده

$$\text{ما در این حالت، در محدوده } -\frac{1}{\sqrt{|\lambda|}} < x < \frac{1}{\sqrt{|\lambda|}} \text{ خواهد بود} [7].$$

هدف ما در این کار بررسی نوسانگر غیر خطی با جرم موثر وابسته به موقعیت در مورد  $\alpha / \lambda < \tilde{\lambda}$  (پارامتری بدون بعد) از منظر حالت های همدوس باروت جیراردلو می باشد. بدین منظور در بخش اول ارتباط این سیستم را با گروه غیر فشرده  $SU(1,1)$  بیان می نماییم. تعیین حالت های همدوس باروت - جیراردلو و بررسی خواص آن را در بخش دوم دنبال می کنیم. اضافه کردن فتوون از حالت های همدوس گلوبر موضوعی است که به صورت گسترده در چارچوب تئوری و آزمایشگاهی مورد مطالعه قرار گرفته است [8]. این حالت ها ابتدا توسط اگروال و تلا را عنوان حالت های همدوس افزوده در رابطه با حالت های همدوس گلوبر معرفی شدند [9]. بعد ها توجه محققان زیادی را در زمینه اپتیک کوانتومی، به منظور بررسی خواص آماری آنها مانند پارامتر مندل، به دنبال داشت. این حالت ها از اثر متواالی عملگر آفرینش بر روی کت حالت های همدوس تعیین می شوند. بر این اساس در ادامه حالت های همدوس فتوون افزوده باروت - جیراردلو را برای سیستم مورد مطالعه، ارائه می دهیم. در پایان به بررسی خواص آماری این دو نوع حالت همدوس از منظر تابع توزیع احتمال و پارامتر مندل می پردازیم.

## ۱- نگاهی کوتاه به نوسانگر غیرخطی کوانتومی و گروه تقارن دینامیکی مربوطه

همتای کوانتومی هامیلتونی در رابطه (۲) به صورت زیر می باشد:

$$\hat{H} = \frac{1}{2} [(1 + \tilde{\lambda} \hat{x}^2) \hat{p}^2 - 2i\tilde{\lambda} \hat{x} \hat{p} + \frac{\alpha^2 x^2}{1 + \tilde{\lambda} x^2}].$$

ویژه توابع و ویژه مقادیر وابسته به این سیستم توسط روابط زیر تعیین می شوند ([11] و [7]):

در روش دوم، که فقط در مورد گروه های غیرفشرده کاربردی است، حالت های همدوس ویژه بردار عملگر نابودی می باشند که حالت های همدوس باروت - جیراردلو نام دارند [5].

تعريف سوم که به برآورده نمودن رابطه عدم قطعیت می نیم م برای عملگرهای هرمیتی بر می گردد، حالت های همدوس هوشمند نامگذاری می شوند. این سه روش تعیین حالت های همدوس، فقط در مورد خاص گروه ویل - هایزنبرگ (گروه تقارن دینامیکی نوسانگر ساده) با هم معادلند.

در بیشتر مباحث فیزیکی نوسانگر هماهنگ ساده به خوبی مورد مطالعه قرار گرفته است. این سیستم نقش مهمی در توصیف آرمان گرایانه روی بسیاری از مسائل فیزیکی مثل نظریه کوانتومی نور لیزر، الکترودینامیک کوانتومی و نوسانات کوچک روی مولکول های چند اتمی ایفا نموده است. از طرفی بسیاری از پدیده های فیزیکی در طبیعت نوساناتی غیرخطی را نشان می دهند. همین امر محققان را به بررسی نوسانگر های غیرخطی تشویق نموده است. برای مثال ماتیو و لانشمن در سال ۱۹۷۴ معادله

$$m[(1 + \lambda x^2) \ddot{x} - \lambda x \dot{x}^2 + \alpha^2 x] = 0, \quad (1)$$

را به عنوان نمونه ای از سیستم هایی که نوسانات غیرخطی را توصیف می نمایند، مطالعه نمودند [6]. آنها نشان دادند که معادله (۱) دارای جوابی عام به صورت  $x = A \sin(\omega t + \phi)$  با  $\omega^2 / (1 + \lambda A^2)^{1/2} = \alpha^2$  می باشد که بیانگر وابستگی فرکانس به دامنه است. هامیلتونی کلاسیکی سیستم مذکور به صورت زیر نوشته می شود:

$$H = \frac{(1 + \lambda x^2) p^2}{2m} + \frac{m \omega^2 x^2}{2(1 + \lambda x^2)}, \quad (2)$$

که بیانگر هامیلتونی نوسانگر هماهنگ غیرخطی با جرم موثر وابسته به موقعیت  $m(x) = 1 / (1 + \lambda x^2)$  می باشد و در حد  $\lambda \rightarrow 0$  به نوسانگر هماهنگ با جرم واحد تبدیل می شود. پارامتر غیرخطی  $\lambda$  می تواند مقادیر مثبت، منفی و صفر را اختیار کند. واضح است که نوسانگر غیرخطی مربوطه در مورد  $\lambda < 0$  یک تکینگی را در  $1 - |\lambda| x^2 = 0$  تجربه می نماید. بنابراین آنالیز

$$\hat{A}^{\pm} = \sqrt{\frac{|\tilde{\lambda}|}{2}} \hat{K}^{\pm} \quad \left| k = 1 + \frac{1}{|\tilde{\lambda}|} \right., \quad (5)$$

که  $\hat{K}^{\pm}$  عملگر های نرdbانی وابسته به گروه  $SU(1,1)$  و آفرینش و نابودی در رابطه (۶) جبر گروه  $SU(1,1)$  برای حالت ویژه  $k = 1 + 1/|\tilde{\lambda}|$  را تشکیل می دهد.

$$\tilde{\lambda} < 0: \begin{cases} \psi_n(y, \tilde{\lambda}) = H_n(y, \tilde{\lambda})(1 - |\tilde{\lambda}|)^{-\frac{1}{2|\tilde{\lambda}|}}, \\ E_n = \left( n + \frac{1}{2} + |\tilde{\lambda}| \left[ \frac{n(n+1)}{2} \right] \right), n = 0, 1, 2, \dots \end{cases}$$

$$\tilde{\lambda} > 0: \begin{cases} \psi_n(y, \tilde{\lambda}) = H_n(y, \tilde{\lambda})(1 + \tilde{\lambda})^{-\frac{1}{2\tilde{\lambda}}}, \\ E_n = \left( n + \frac{1}{2} - \tilde{\lambda} \left[ \frac{n(n+1)}{2} \right] \right), n = 0, 1, 2, \dots, n_{\max}, \end{cases}$$

که  $H_n$  چندجمله ای های هرمیتی وابسته به  $\tilde{\lambda}$  و  $y = \sqrt{\alpha x}$  می باشد.

## ۲- حالت های همدوس باروت - جیراردلو

حالت های همدوس باروت - جیراردلو مربوط به یک سیستم کوانتمومی، به صورت ویژه بردار عملگر نابودی مربوط به آن تعریف می شوند. برای نوسانگر غیرخطی با جرم موثر وابسته به موقعیت می توان نوشت:

$$\hat{A}^- |z, k\rangle = z |z, k\rangle, \quad (6)$$

که  $|z, k\rangle$  حالت های همدوس باروت - جیراردلو و  $z$  پارامتری مختلط می باشند. با انتخاب کت حالت همدوس به صورت بر هم نهی از ویژه توابع

$$|z, k\rangle = \sum_n C_n |n\rangle, \quad (7)$$

و استفاده از عملگر نابودی در رابطه (۵) می توان رابطه بازگشتی زیر را به دست آورد:

$$C_n = \frac{z}{\sqrt{(n+1)(1 + \frac{|\tilde{\lambda}|}{2}(n+1))}} C_{n-1}. \quad (8)$$

با اندکی محاسبه و استفاده از تعریف تابع گاما<sup>۱</sup> به راحتی می توان نوشت:

$$C_n = \frac{z^n}{(\frac{|\tilde{\lambda}|}{2})^{\frac{n}{2}}} \sqrt{\frac{\Gamma(2 + \frac{2}{|\tilde{\lambda}|})}{\Gamma(n+1)\Gamma(n+2 + \frac{2}{|\tilde{\lambda}|})}} C_0.$$

محدودیت در مقادیر  $n$  برای مورد  $> \tilde{\lambda}$  ، ناشی از شرط همگرایی ویژه توابع در بی نهایت می باشد. هدف ما در این کار بررسی نوسانگر غیر خطی مذکور برای مورد  $< \tilde{\lambda}$  می باشد. یک روش قدرتمند در تعیین عملگرهای آفرینش و نابودی روش فاکتوریزاسیون می باشد. بر این اساس نایلا در مرجع [۷] با تکیه بر مفاهیم ابرتقارن و ناوردای شکل، اثر عملگرهای آفرینش و نابودی را در فضای فوک برای مورد  $< \tilde{\lambda}$  به صورت زیر تعیین نموده است:

$$\hat{A}^+ |n\rangle = \sqrt{(n+1)(1 + \frac{|\tilde{\lambda}|}{2}(n+2))} |n+1\rangle, \quad (3)$$

$$\hat{A}^- |n\rangle = \sqrt{n(1 + \frac{|\tilde{\lambda}|}{2}(n+1))} |n-1\rangle, \quad (4)$$

با بازنویسی عملگر های نرdbانی بالا به صورت زیر:

$$\hat{A}^+ |n\rangle = \sqrt{\frac{|\tilde{\lambda}|}{2}} \sqrt{(n+1)(\frac{2}{|\tilde{\lambda}|} + n+2)} |n+1\rangle,$$

$$\hat{A}^- |n\rangle = \sqrt{\frac{|\tilde{\lambda}|}{2}} \sqrt{n(\frac{2}{|\tilde{\lambda}|} + n+1)} |n-1\rangle,$$

و مقایسه آن ها با عملگر های نرdbانی گروه  $SU(1,1)$ ، در مرجع [۱۲]، می توان نوشت:

<sup>1</sup> Gamma function

مهمترین ویژگی حالت های همدوس یعنی برقراری رابطه  
همانی به صورت زیر :

$$\int |z, k\rangle \langle z, k| \mu(d^2 z) = \hat{I} = \sum_{n=0}^{\infty} |n\rangle \langle n|, \quad (14)$$

می باشد که در واقع پل ارتباطی بین جهان کوانتوم و جهان  
کلاسیک است. در این رابطه

$$\mu(d^2 z) = N(|z|^2) \omega_k(|z|^2) \frac{d^2 z}{\pi}, \quad (15)$$

می باشد و  $\omega_k(|z|^2)$  تابع وزن مثبتی است که باید تعیین  
شود. به این منظور با قرار دادن حالت همدوس معرفی شده  
در رابطه (12) خواهیم داشت:

$$\int |z|^{2n} \omega_k(|z|^2) \frac{d^2 z}{\pi} = \rho(n). \quad (16)$$

با توجه به اینکه در نمایش قطبی داریم:

$$z = r e^{i\phi}, \quad d^2 z = r dr d\phi,$$

با تغییر متغیر  $x = r^2$  رابطه بالا به صورت رابطه انتگرالی  
زیر به دست می آید:

$$\int_0^\infty x^n \omega(x) dx = \rho(n). \quad (17)$$

تابع وزن  $\omega(x)$  با استفاده از بحث تبدیل میلین و تابع  
G میجر (که در پیوست آمده است) به صورت زیر تعیین می  
شود:

$$\omega_k(x) = \frac{G_{02}^{20} \left( \begin{array}{c|cc} \frac{2x}{|\tilde{\lambda}|} & 0, 2 + \frac{2}{|\tilde{\lambda}|} \\ \hline |\tilde{\lambda}| & \Gamma(2 + \frac{2}{|\tilde{\lambda}|}) \end{array} \right)}{\frac{2}{|\tilde{\lambda}|} \Gamma(2 + \frac{2}{|\tilde{\lambda}|})}.$$

توجه شود که تابع وزن در رابطه بالا تابع مثبتی روی همه  
محدوده  $x$  می باشد.

بر این اساس حالت های همدوس باروت- جبراردلو برای نوسانگر

غیرخطی به صورت زیر تعیین می شوند:

$$|z, k\rangle = \sum_{n=0}^{\infty} \frac{z^n}{(\frac{|\tilde{\lambda}|}{2})^{\frac{n}{2}}} \sqrt{\frac{\Gamma(2 + \frac{2}{|\tilde{\lambda}|})}{\Gamma(n+1)\Gamma(n+2 + \frac{2}{|\tilde{\lambda}|})}} C_0 |n\rangle, \quad (10)$$

$$\frac{1}{|C_0|^2} = N(|z|^2) = \sum_{n=0}^{\infty} \frac{|z|^{2n}}{(\frac{|\tilde{\lambda}|}{2})^n} \frac{\Gamma(2 + \frac{2}{|\tilde{\lambda}|})}{\Gamma(n+1)\Gamma(n+2 + \frac{2}{|\tilde{\lambda}|})}. \quad (11)$$

از شروط اینچهارش روی حالت های همدوس یعنی  
 $\langle z, k | z, k \rangle = 1$

تابع فوق هندسی<sup>2</sup> به صورت زیر نوشته:

$$N(|z|^2) = {}_0F_1([], 2 + \frac{2}{|\tilde{\lambda}|}, 2 \frac{|z|^2}{|\tilde{\lambda}|}).$$

بر این اساس می توان حالت های همدوس در رابطه (10) را به  
صورت زیر بازنویسی نمود:

$$|z, k\rangle = \frac{1}{\sqrt{N(|z|^2)}} \sum_{n=0}^{\infty} \frac{z^n}{\sqrt{\rho(n)}} |n\rangle, \quad (12)$$

$$\text{و } z = \sqrt{\frac{2}{|\tilde{\lambda}|}} z \text{ که}$$

$$\rho(n) = \frac{\Gamma(n+1)\Gamma(n+2 + \frac{2}{|\tilde{\lambda}|})}{\Gamma(2 + \frac{2}{|\tilde{\lambda}|})}. \quad (13)$$

می توان نشان داد، شاع همگرایی برای حالت های همدوس  
مذکور که به صورت  $R = \lim_{n \rightarrow \infty} \sqrt[n]{\rho(n)}$  می باشد، بی  
نهایت خواهد بود. همچنین همه روابط بالا در مورد نوسانگر غیرخطی  
در حد  $\tilde{\lambda} \rightarrow 0$  بر روابط مشابه در مورد نوسانگر هماهنگ ساده  
کوانتومی منطبق می شود(اینها در پیوست) یعنی:

$$\lim_{\tilde{\lambda} \rightarrow 0} N(|z|^2) \equiv e^{|z|^2},$$

$$\lim_{\tilde{\lambda} \rightarrow 0} |z, k\rangle \equiv |z\rangle = e^{-\frac{|z|^2}{2}} \sum_{n=0}^{\infty} \frac{z^n}{\sqrt{n!}} |n\rangle.$$

<sup>2</sup>Hypergeometric function

لازم است توجه داشته باشیم، حالت‌های همدوس فوتون افزوده، یک برهم نهی روی حالت‌های فوک با نقطه شروع  $m$  می‌باشد بنابراین عملگر همانی روی کل فضای هیلبرت تعریف نمی‌شود و فقط یک زیر فضا از فضای هیلبرت را شامل می‌شود که به صورت زیر بیان می‌شود:

$$\hat{I}_m = \sum_{n=m}^{\infty} |n\rangle\langle n| = \sum_{n=0}^{\infty} |n+m\rangle\langle n+m|.$$

مشابه با بخش قبل، می‌توان نشان داد حالت‌های همدوس فوتون افزوده، رابطه انتگرالی همانی را به صورت:

$$\int |z, k, m\rangle\langle z, k, m| N \omega_k^m(|z|^2) \frac{d^2 z}{\pi} = \hat{I}_m, \quad (21)$$

و با تابع وزن مثبت زیر برآورده می‌نماید.

$$\omega(|z|^2) = \frac{G_{24}^{40} \left( \begin{array}{c|cc} \frac{2|z|^2}{|\tilde{\lambda}|} & [;m, m+1 + \frac{2}{|\tilde{\lambda}|}] \\ \hline 0, 0, \frac{2}{|\tilde{\lambda}|} + 1, \frac{2}{|\tilde{\lambda}|} + 1; [] \end{array} \right)}{\frac{|\tilde{\lambda}|}{2} \Gamma(2 + \frac{2}{|\tilde{\lambda}|})}.$$

#### ۴- خواص آماری حالت‌های همدوس

احتمال پیدا کردن  $n$  فوتون در حالت همدوس  $|\beta\rangle$  به صورت  $P_n = |\langle n|\beta\rangle|^2$  محاسبه می‌شود.

در رابطه با نوسانگر مورد نظر توزیع احتمال برای حالت‌های همدوس باروت- جیراردلو و حالت‌های همدوس فوتون افزوده باروت- جیراردلو به ترتیب به صورت زیر به دست می‌آید:

$$P_n = |\mathbf{C}_n|^2 = \frac{(\frac{2|z|^2}{|\tilde{\lambda}|})^n}{N(|z|^2)} \frac{\Gamma(2 + \frac{2}{|\tilde{\lambda}|})}{\Gamma(n+1)\Gamma(n+2 + \frac{2}{|\tilde{\lambda}|})}, \quad (22)$$

$$P_n^m = \frac{(\frac{|z|^2}{2})^{n-m}}{N'} \left(\frac{|\tilde{\lambda}|}{2}\right)^{m-n} \frac{\Gamma(n+1)\Gamma(n+2 + \frac{2}{|\tilde{\lambda}|})\Gamma(2 + \frac{2}{|\tilde{\lambda}|})}{\Gamma^2(n-m+1)\Gamma^2(n-m+2 + \frac{2}{|\tilde{\lambda}|})}. \quad (23)$$

#### -۳- حالت‌های همدوس فوتون افزوده باروت - جیراردلو

یک کلاس جالب از حالت‌های غیر کلاسیکی حالت‌های فوتون افزوده می‌باشد. به منظور ساختن این حالت‌ها در مورد نوسانگر غیرخطی از حالت‌های باروت- جیراردلو می‌توان نوشت:

$$|z, k, m\rangle = \frac{\hat{A}^{+m}}{\sqrt{N_m(|z|^2)}} |z, k\rangle, \quad (18)$$

که  $\hat{A}^+$  عملگر آفرینش در رابطه (۳) می‌باشد.  $m$  عدد صحیح مثبتی است که معرف شمار فوتون‌های افزوده و ضریب بهنجارش است. با محاسبه می‌توان نشان داد:

$$|z, k, m\rangle = \frac{1}{\sqrt{N}} \sum_{n=0}^{\infty} z^n \left(\frac{|\tilde{\lambda}|}{2}\right)^{-n} \sqrt{\frac{\Gamma(m+n+1)\Gamma(n+m+2 + \frac{2}{|\tilde{\lambda}|})\Gamma(2 + \frac{2}{|\tilde{\lambda}|})}{\Gamma^2(n+1)\Gamma^2(n+2 + \frac{2}{|\tilde{\lambda}|})}} |n+m\rangle,$$

که به صورت زیر باز نویسی می‌شود:

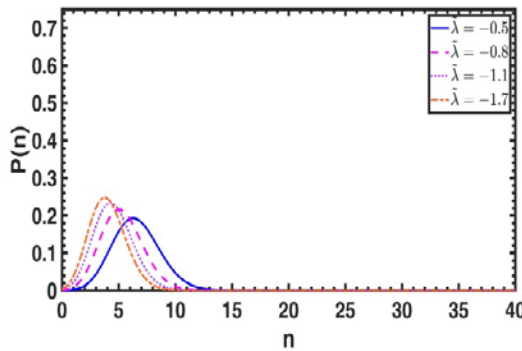
$$|z, k, m\rangle = \frac{1}{\sqrt{N}} \sum_{n=m}^{\infty} z^{n-m} \left(\frac{|\tilde{\lambda}|}{2}\right)^{\frac{m-n}{2}} \sqrt{\frac{\Gamma(n+1)\Gamma(n+2 + \frac{2}{|\tilde{\lambda}|})\Gamma(2 + \frac{2}{|\tilde{\lambda}|})}{\Gamma^2(n-m+1)\Gamma^2(n-m+2 + \frac{2}{|\tilde{\lambda}|})}} |n\rangle. \quad (19)$$

که  $N' = N(|z|^2)N_m(|z|^2)$  به صورت زیر بیان می‌شود:

$$N' = \frac{\Gamma(m+1)\Gamma(m+2 + \frac{2}{|\tilde{\lambda}|})}{\Gamma(2 + \frac{2}{|\tilde{\lambda}|})} \times {}_2F_2([m+1, m+2 + \frac{2}{|\tilde{\lambda}|}]; [1, 2 + \frac{2}{|\tilde{\lambda}|}, 2 + \frac{2}{|\tilde{\lambda}|}; 2 \frac{|z|^2}{|\tilde{\lambda}|}).$$

واضح است که  $|z, k\rangle$  بر  $m=0$  در حالت  $N'$  و  $|z, k, m\rangle$  در حالت  $N(|z|^2)$  منطبق می‌شوند. به راحتی می‌توان نشان داد که:  $\langle z', k, m | z, k, m \rangle \neq 0$ . (20)

یعنی حالت‌های معرفی شده در (۱۹) غیر متعامدند.

شکل ۲: نمایش تابع توزیع احتمال بر حسب  $n$  برای حالت های

همدوس باروت-جیراردلو با  $x = 20$  و مقادیر مختلف پارامتر غیرخطی  $\tilde{\lambda}$

شکل (۳) تغییرات تابع احتمال در رابطه (۲۳) را بر حسب

برای مقادیر مختلفی از برازنگیختگی نمایش می دهد. بر اساس

این شکل، شدت تابع احتمال با افزایش  $m$  کاهش می یابد و پیک این تابع در مقدار متوسط  $n$  بیشتری اتفاق می افتد.

در ادامه به بررسی ویژگی های آماری حالت های همدوس معرفی شده در روابط (۱۲) و (۱۹) می پردازیم. یکی از ابزار های مهم در تعیین طبیعت تابع توزیع پارامتر مندل<sup>۳</sup> می باشد که به صورت زیر تعریف می شود:

$$Q = \frac{(\Delta \hat{N})^2}{\langle \hat{N} \rangle} - 1, \quad (24)$$

به راحتی می توان بین این دو توزیع احتمال روابط زیر را تحقیق نمود:

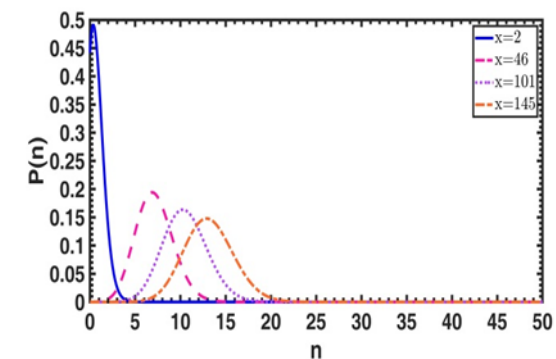
$$P_n^m = \frac{\Gamma(n+1)\Gamma(n+2+\frac{2}{|\tilde{\lambda}|})}{N_m(|z|^2)\Gamma(n-m+1)\Gamma(n-m+2+\frac{2}{|\tilde{\lambda}|})} P_{n-m}^0,$$

$$P_n^m = \frac{(|z|^2)^{-m}(\frac{|\tilde{\lambda}|}{2})^m \Gamma^2(n+1)\Gamma^2(n+2+\frac{2}{|\tilde{\lambda}|})}{N_m(|z|^2)\Gamma^2(n-m+1)\Gamma^2(n-m+2+\frac{2}{|\tilde{\lambda}|})} P_n^0$$

بنابراین احتمال پیدا کردن  $n < m$  فوتون برای  $n$  برابر با صفر می باشد. می توان نشان داد، تابع توزیع احتمال در حد  $\tilde{\lambda} \rightarrow 0$  تابع توزیع احتمال نوسانگ هماهنگ ساده برای حالت های همدوس افزوده استاندارد تطابق دارد. [8]

$$\lim_{\tilde{\lambda} \rightarrow 0} P_n^m(|z|^2) \rightarrow \frac{n!}{N_m(|z|^2)(n-m)!} P_{n-m}^0,$$

شکل (۱) و (۲) نمودار تغییرات تابع احتمال در رابطه (۲۳) بر حسب  $n$  را به ترتیب برای مقادیر مختلفی از  $\tilde{\lambda}$  و  $x$  نشان می دهد. می توان این طور نتیجه گرفت که با افزایش  $x$  و  $|\tilde{\lambda}|$  پیک احتمال شدت بیشتری خواهد داشت و نمودار یک شیفت به چپ را تجربه می کند.

شکل ۳: نمایش تابع توزیع احتمال بر حسب  $n$  برای حالت های همدوس باروت-جیراردلو با  $\tilde{\lambda} = -1.25$  و مقادیر مختلفی از پارامتر مختلف حالات های همدوس

همدوس فوتون اضافه شده باروت-جیراردلو برای  $x = 10$  و  $\tilde{\lambda} = -1.7$  و مقادیر مختلفی از  $m$

<sup>3</sup> Mandel Q-parameter

می‌یابد. همچنین می‌توان نشان داد، پارامتر مندل با تغییرات پارامتر غیر خطی تغییرات چشم گیری نخواهد داشت.

که  $\langle \hat{N} \rangle$  متوسط عملگر تعداد و  $(\Delta \hat{N})^2 = \langle \hat{N}^2 \rangle - \langle \hat{N} \rangle^2$  واریانس(پراکندگی) توزیع می‌باشد. براین اساس  $Q = 0$  متناظر با توزیع پواسونی می‌باشد و  $Q < 0$  به

## ۵- نتیجه گیری

در این مقاله گروه  $SU(1,1)$  به عنوان گروه دینامیکی نوسانگر غیرخطی با جرم موثر وابسته به موقعیت معرفی شد. بر این اساس حالت‌های همدوس تعمیم یافته و فوتون افزوده باروت-جیراردلو و خواص ویژه و اساسی این دو به تفصیل مورد بررسی قرار گرفت. در نهایت به توصیف آماری این دو حالت همدوس بر اساستابع توریع احتمال و پارامتر مندل پرداختیم. نمودارها نشان داد که افزایش  $x$  و  $|\tilde{\lambda}|$  پیک احتمال شدت بیشتری خواهد داشت و نمودار یک شیفت به چپ را تجربه می‌کند. همچنین پارامتر مندل در هر دو حالت مقادیر منفی را اختیار می‌کند که این بیانگر آن است که این دو بردار حالت خواص غیر کلاسیکی از خود نمایش می‌دهند. یعنی افزایش برانگیختی ویژگی‌های غیر کلاسیکی نمایان تر خواهد شد.

ترتیب بیانگر آمار فرا پواسونی<sup>۴</sup> و زیر پواسونی<sup>۵</sup> می‌باشند.

با توجه به اینکه پارامتر غیر منفی مندل متناظر با یک حالت غیرکلاسیکی می‌باشد، آمار زیرپواسونی نشانگر ویژگی غیر کلاسیکی بردار حالت سیستم می‌باشد.

با محاسبه می‌توان نشان داد که این پارامتر برای حالت‌های همدوس باروت-جیراردلو و حالت‌های همدوس فوتون افزوده به ترتیب به صورت زیر به دست می‌آید:

$$Q = x \frac{d}{dx} \ln \frac{d}{dx} \ln N(x),$$

$$Q^m = \frac{x^2 \frac{d^2}{dx^2} \ln N'(x) - m}{x \frac{d}{dx} \ln N'(x) + m}.$$

شکل (۴)، تغییرات پارامتر مندل را برحسب  $x$  نمایش می‌دهد. واضح است که در هر دو مورد حالت‌های همدوس، پارامتر مندل منفی است که بیانگر اینست که این دو بردار حالت متناظر با

## پیوست

در این بخش روابط استفاده شده برای رسیدن به حالت‌های همدوس و تابع توزیع احتمال آورده شده است.

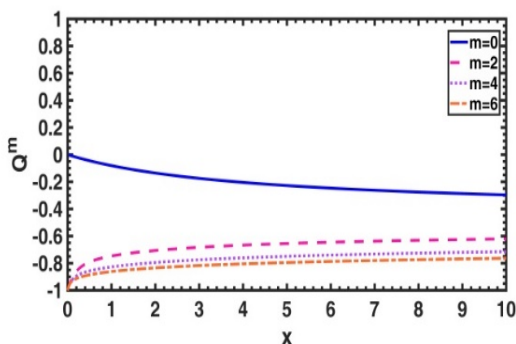
$$\Gamma(n+1) = n!,$$

$$\Gamma(n+1) = n(n-1),$$

$${}_p F_q(a_1, \dots, a_p; b_1, \dots, b_q; z)$$

$$= \sum_{n=0}^{\infty} \frac{(a_1)_n (a_2)_n \dots (a_p)_n}{(b_1)_n (b_2)_n \dots (b_q)_n} \frac{z^n}{n!},$$

$$(a)_n = \frac{\Gamma(a+n)}{\Gamma(a)},$$



شکل ۴: نمایش تغییرات پارامتر مندل بر حسب  $x$  برای حالت‌های همدوس فوتون افزوده باروت-جیراردلو برای  $m = 0, 2, 4, 6$

حالات غیرکلاسیکی می‌باشند. با توجه به اینکه با افزایش فوتون‌ها، پارامتر مندل منفی تر می‌شود. می‌توان نتیجه گرفت که خواص غیرکلاسیکی حالت‌های همدوس با افزایش شمار فوتون‌ها افزایش

<sup>5</sup> Sub-poissonian

<sup>4</sup> Super- poissonian

application", Springer-verlag,  
Berlin, Heidelorge , Newyork ,  
London , Parise , Tokyo ,1986.

[5]-A.O.Barut,"Dynamic group  
and generalized symmetries in  
quantum theory" , University of  
Canterbury,Christchurch , 1971.

[6].P.M.Mathews and  
M.Lakshanan," On a unique  
nonlinear oscillator"  
,Quart.Appl.Math.32,215-  
218.1974

[7]- Amir.N., " Ladder operator ,  
associated algebras for position-  
dependent mass systems" , EPL ,  
111, 20005 , 2015.

[8]-  
V.V.Dodonov,M.A.Marchiolli,  
Ya.A. Korennoy, V.I.Man'ko  
and Y.A.Moukhin.Y.A.,  
"Dynamical squeezing of photon  
added coherentstates",Physical  
Review A,58,5, 1998.

[9]- G.S.Agarwal and K.Tara, "  
Nonclassical properties of states  
generated by excitations on a  
coherent state" , Phys.Rev.A ,  
43,492,1991.

[10]- R.J.Glauber, "Photon  
correlation", Phys .Rev,let.10 ,84  
,1963.

[11]-JF.Carien., MF. Ranada, M.  
Santand, M.Senthilvelan." A  
nonlinear oscillator with quasi-  
harmonic behaviour: two- and n-  
dimensional osillators " ,  
Nonlinearity , 17, 2004.

[12]-C.Brif,A.Vourda , A.Mann,  
"Analytic representation based  
on SU(1,1) coherent states and  
their applications",Journal of  
physics A :Math .Gen,29,587 3-  
5885,1996.

$$\int_0^\infty G_{pq}^{mn} \left( \beta x \begin{matrix} |a_1, \dots a_n; a_{n+1}, \dots a_p \\ |b_1, \dots b_m; b_{m+1}, \dots b_q \end{matrix} \right) x^{s-1} dx$$

$$= \frac{\prod_{j=1}^m \Gamma(b_j + s) \prod_{j=1}^n \Gamma(1 - a_j - s)}{\prod_{j=m+1}^q \Gamma(1 - b_j - s) \prod_{j=n+1}^p \Gamma(a_j + s)} \beta^{-s}$$

اثبات رابطه : در این قسمت نشان خواهیم داد حالت های همدوس  
با روت جیراردو در حد  $\tilde{\lambda} \rightarrow 0$  بر حالت های همدوس استاندارد  
منظبق می شوند.

$$\rho(n) = \frac{\Gamma(n+1)\Gamma(n+2+\frac{2}{|\tilde{\lambda}|})}{\Gamma(2+\frac{2}{|\tilde{\lambda}|})} =$$

$$\frac{n!(n+\frac{2}{|\tilde{\lambda}|}+1)!}{(\frac{2}{|\tilde{\lambda}|}+1)!} =$$

$$\frac{n!(n+\frac{2}{|\tilde{\lambda}|}+1)(n+\frac{2}{|\tilde{\lambda}|}), \dots, (\frac{2}{|\tilde{\lambda}|}+2)(\frac{2}{|\tilde{\lambda}|}+1)!}{(\frac{2}{|\tilde{\lambda}|}+1)!}$$

$$= n!(\frac{|\tilde{\lambda}|}{2})^n (\frac{|\tilde{\lambda}|}{2}n+1 + \frac{|\tilde{\lambda}|}{2})(\frac{|\tilde{\lambda}|}{2}n+1), \dots, (\frac{|\tilde{\lambda}|}{2}+1)$$

با این ساده سازی می توان در حد  $\tilde{\lambda} \rightarrow 0$  به حالت های همدوس  
استاندارد رسید.

## منابع

[1]- E.Schrodinge, "Der stetigeÜbergang  
Von der Mikro-urMakromechanik  
Naturwiss ".14, 664-666,1926.

[2]-R.J.Glauber, "Coherent and de  
coherent states of the radiation field ".  
Phys .Rev, 131, 2766-2788, 1963.

[3]-G.P.Gazeau, "Coherent states in  
quantum physics", Wiley-VCH ,  
Berlin,2009.

[4]- A.Perelomov, "Generalized  
coherent states and their

# Photon –added Barut –Girardello coherent states for non-linear harmonic oscillator

Rezaei, Sodabe <sup>1\*</sup>; Rabeie, Ardeshir <sup>1</sup>

<sup>1</sup> Department of Physics Razi University, Kermanshah

---

## Article details

---

Received: 2021/12/8

Accepted: 2025/02/1

Published: 2025/02/15

---

ISSN: 2588-493x

eISSN: 2588-4821

---

\*Correspondence email:  
[sodaber9@gmail.com](mailto:sodaber9@gmail.com)

---



---

## Abstract

---

In this paper, we introduce the generalized coherent states and Photon- added coherent states in the sence of Barut-Girardello for the nonlinear harmonic oscillator with position dependent study of the resolution of the unity as the The effective mass. fundamental property of coherent states, is done in Meijer G-function. Also, the non- classical features of these two states are calculated and analyzied by using the probability distribution function and Mandel parameter.

**Keywords:** Barut- Girardello coherent states, Photon –added coherent states, Non- classical features, Probability distribution function, Mandel parameter